

# 7

---

## **METODOLOGIA GERL NA OPTIMIZAÇÃO DE PROBLEMAS DE LAYOUTS DE INSTALAÇÕES**

Foi já demonstrado que o espaço de soluções resultante do modelo proposto para solucionar PPLI com o recurso a meta-interpretadores da PLR(*DF*) é demasiado vasto para que possa ser completamente explorado em tempo útil. Foi ainda concluído no capítulo 5 que, um método para encontrar em tempo útil boas soluções para este tipo de problemas, deveria efectuar uma amostragem uniforme de todo o espaço de soluções. Um conjunto de métodos, denominados por computação evolucionária, têm sido aplicados com sucesso na resolução de problemas complexos como é o caso dos PPLI. Como se referiu no capítulo 6, estes métodos são métodos estocásticos que aliam as características da pesquisa local com a pesquisa global para explorar as regiões mais prometedoras do espaço de soluções

Este capítulo tem por objectivo fundamental a avaliação da metodologia *GeRL*

na resolução de PPLI, sendo dado um especial ênfase aos operadores genéticos que foram desenvolvidos. Para o efeito foi desenvolvido um protótipo, a que se deu a designação de *LayGeRL* (geração de **L**ayout de instalações usando algoritmos **G**enéticos com a tecnologia das **R**estrições e da **L**ógica).

## 7.1 A Computação Evolucionária na Resolução de Problemas de *Layout*

Os métodos de computação evolucionária, e fundamentalmente os Algoritmos Genéticos (AG), têm vindo a ser largamente utilizados em áreas do conhecimento tão diversas como, por exemplo, a optimização combinatória, a optimização numérica de funções, o processamento de imagem, problemas de projecto e a aprendizagem. Em geral estes métodos têm mostrado ser bastante bem sucedidos na resolução de problemas complexos. Como se tem vindo a demonstrar ao longo da tese os PPLI, em particular os relacionados com os sistemas produtivos, pertencem a esta categoria de problemas. Em boa verdade, grande parte dos problemas de optimização de produção são problemas complexos e por isso candidatos a serem solucionados por métodos de computação evolucionária.

Dimopoulos e Zalzala (2000) publicaram um trabalho onde passam em revista os mais recentes desenvolvimentos no campo da computação evolucionária na resolução dos principais problemas de optimização da produção. Entre os diferentes problemas de optimização de produção destacam-se os problemas de escalonamento *Job-Shop*<sup>1</sup> e *Flow-Shop*, de planeamento de processos, de optimização de sistemas de produção celulares, de optimização de linhas de produção e de optimização de desenho ou projecto. No âmbito do problema tratado na tese, têm um particular interesse os problemas de optimização de sistemas de produção celulares dado que estes se inserem na categoria dos PPLI. O projecto de sistemas de produção celulares compreende três fases: i) o agrupamento de máquinas em diferentes células; ii) a

---

<sup>1</sup> Uma tradução possível para este termos é “oficina de tarefas”.

<sup>2</sup> Pode ser traduzido como “oficina de fluxos”.

geração do *layout* das células nas plantas fabris; e iii) a geração do *layout* das máquinas dentro de cada célula. As duas últimas fases são de facto casos particulares de PPLI. Numa das fases as células são tratadas como instalações e na outra cada célula é um PPLI em que a área da célula é a planta e as máquinas são as instalações.

Diversas abordagens têm sido propostas para solucionar PPLI com o recurso a métodos da computação evolucionária, tanto em termos do modelo adoptado como relativamente à representação escolhida. Segundo Dimopoulos e Zalzala, as primeiras abordagens para solucionar PPLI utilizando métodos de computação evolucionária foram propostas por Cohoon *et al.*(1992) e Tam (1992a). Em ambos os casos, as soluções para os problemas são representadas por árvores de corte que foram já descritas na secção 2.5.2.

Uma abordagem diferente, que recorre à computação evolucionária, foi adoptada por Tate e Smith (1995) com o FLEX-BAY. Esta abordagem parte do formalismo do QAP de modo a usar uma estrutura para o *layout* baseado em bandas flexíveis<sup>3</sup> que acomodam instalações de tamanhos diferentes. A planta fabril é dividida num determinado número de bandas de uma extremidade à outra e numa determinada direcção. Estas bandas são então divididas em partes que acomodam as instalações por intermédio de cortes transversais (ver Figura 7-1). A representação das soluções baseia-se numa representação por permutações que determina não só a banda atribuída a cada instalação bem como a divisão das bandas.

1	2	3	4
5	6	7	8
9	10	11	

Figura 7-1: Um exemplo de um *layout* baseado em bandas flexíveis para 11 instalações.

Para solucionar problemas de *layout*, considerando instalações de áreas diferentes, pela utilização de AG, Kochhar *et al.* (1996) desenvolveram um método

<sup>3</sup> Termo original em inglês é *flexible-bay layout structure*.

que passa pela diviso de cada instalaço em blocos quadrados. Cada bloco   tratado como uma unidade de  rea. O n mero de blocos atribu dos a cada instalaço depende da  rea que esta ocupa.. A representaço das soluçes   efectuada por interm dio de uma cadeia que cont m o n mero de cada instalaço segundo uma sequ ncia da esquerda para a direita e de cima para baixo. O *layout* indicado na Figura 7-2   representado pela cadeia {1, 1, 6, 1, 6, 6, 5, 2, 2, 3, 4, 4}. Este m todo foi mais tarde estendido de forma a resolver problemas de *layout* considerando que as instalaçes podem ser dispostas por v rios pisos (Kochhar, 1998).

1	1	6
1	6	6
5	2	2
3	4	4

Figura 7-2: *Layout* de instalaçes de  reas diferentes representado por quadrados unit rios.

Uma outra abordagem interessante foi proposta por Banerjee *et al.* (1997) e segue um modelo do problema baseado no formalismo da programaço inteira mista. A representaço das soluçes escolhida   baseada em grafos onde cada n  representam as instalaçes e os ramos correspondem ao fluxo de material entre as instalaçes. So usados AG como uma parte do algoritmo global, procurando-se transformar o problema numa s rie iterativa de problemas de programaço linear.

## 7.2 A Metodologia GeRL na Resoluço de PPLI

Nesta secço   descrita uma abordagem desenvolvida baseada na metodologia *GeRL* para solucionar PPLI (Tavares *et al.*, 2000a; Tavares *et al.*, 2000b). Recorde-se que a metodologia *GeRL*, descrita na secço 6.4.2, passa essencialmente pela utilizaço de um AG na optimizaço de problemas com aplicaçes desenvolvidas segundo o paradigma da Programaço L gica por Restriçes com Dom nios Finitos (PLR(DF)). O prot tipo *LayGeRL* desenvolvido, que implementa esta abordagem, consiste, de uma forma simplificada, numa verso modificada do *LaRLo* onde o algoritmo *Branch & Bound* (B&B)   substituído por um AG cujos os operadores gen ticos so implementados segundo o paradigma da PLR(DF), tal como define a metodologia *GeRL*.

### 7.2.1 Arquitectura do LayGeRL

Como o *LayGeRL* é uma versão modificada do *LaRLo*, este partilha com ele a mesma sequência de etapas. Relembrando, estas correspondem à criação das variáveis de decisão com os seus respectivos domínios, à colocação das restrições do problema, à definição da função de custo e finalmente a etapa responsável pelo procedimento de optimização. É precisamente nesta última etapa que residem as principais diferenças relativamente ao *LaRLo*. Todas as restantes etapas são idênticas, mesmo as etapas preliminares relacionadas com a recolha da informação e com o cálculo do valor de fluxo entre as diferentes instalações. Como é referido na secção 5.3, o procedimento de optimização do *LaRLo* envolve a utilização de um algoritmo *B&B*, possivelmente embebido no meta-interpretador de *PLR(DF)*, com um procedimento de etiquetagem das variáveis de decisão adequado. No caso do *LayGeRL*, o procedimento de optimização é um AG que utiliza operadores genéticos implementados segundo o paradigma da *PLR* (ver Figura 7-3). Em termos práticos, estes operadores genéticos não são mais que procedimentos de etiquetagem específicos que exploram apenas uma reduzida região de todo o espaço de soluções.

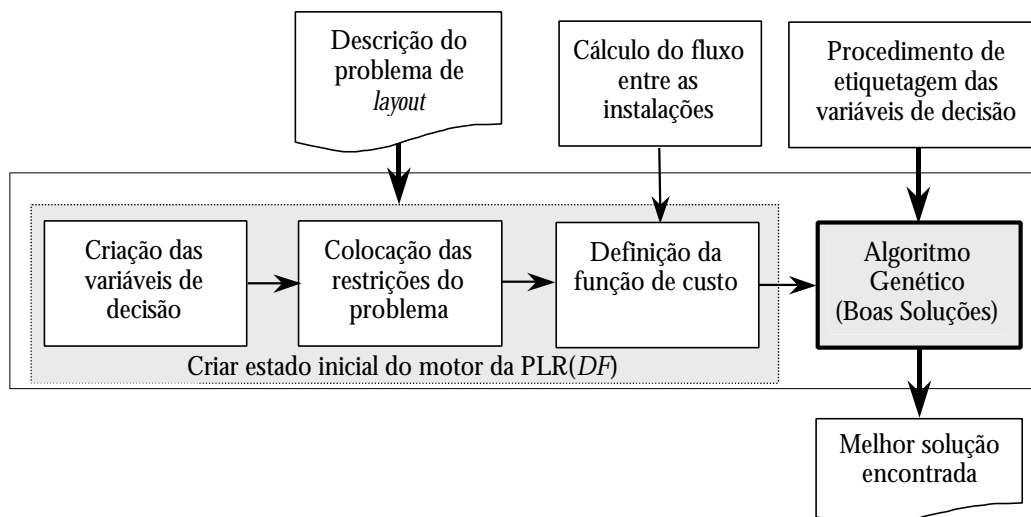


Figura 7-3: Sequência das etapas principais do *LayGeRL*.

Tal como foi referido na secção 6.4.2 qualquer aplicação que segue a metodologia *GeRL*, como é o caso do *LayGeRL*, divide-se em duas partes: o processo principal responsável pelas tarefas de optimização e o motor da *PLR* que

realiza determinadas tarefas de que s o exemplo os operadores gen ticos (Figura 7-4). De referir que as tr s primeiras etapas da sequ ncia de etapas do *LayGeRL* n o s o mais que procedimento de criaç o do estado inicial (II) do motor da PLR.

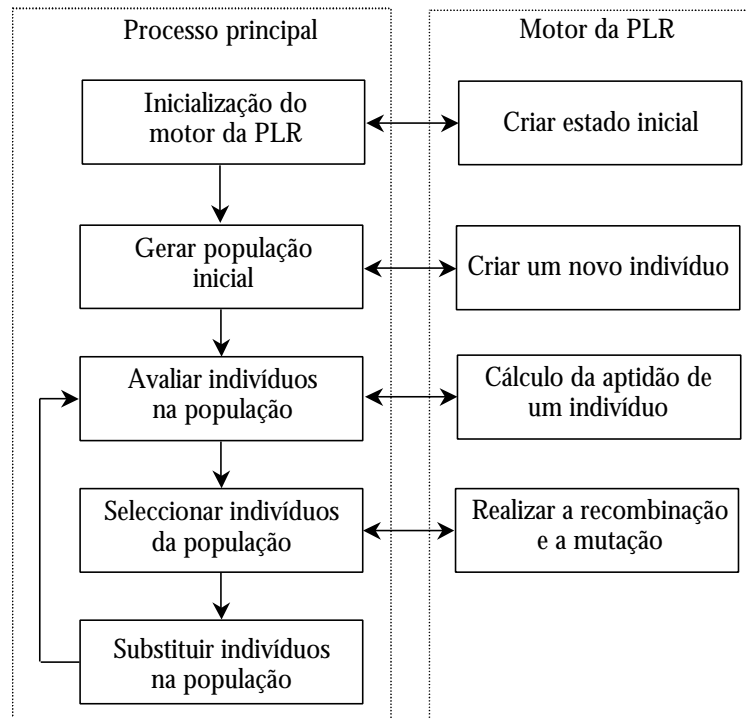


Figura 7-4: As duas partes principais do *LayGeRL*.

Esta divis o do *LayGeRL* em duas partes (processo principal e motor da PLR) permite a implementa o de um processo principal gen rico, permitindo que o mesmo possa ser utilizado para qualquer tipo de problema, sendo apenas necess rio desenvolver, em funç o do tipo de problema em quest o, o c digo respons vel pela cria o do estado inicial, por criar novos indiv duos, por avaliar a aptid o dos indiv duos e por executar os operadores gen ticos de recombina o e muta o. Naturalmente que este c digo deve obedecer a determinadas requisitos de interface. Estes requisitos podem ser os que se encontram definidos na sec o 6.4.2.

## 7.2.2 Representa o das Solu es e Popula o Inicial

Atendendo a que o motor da PLR executa todos os operadores gen ticos, a representa o de solu es escolhida relaciona-se directamente com a organiza o

interna das variáveis de decisão usado pelo *LayGeRL*. Esta é idêntica à organização interna utilizada pelo *LaRLo* já descrita na secção 5.1, e consiste numa lista ( $\{\Phi\}$ ) com um tamanho igual ao número total de instalações a dispor na planta. Recorde-se que cada elemento da lista está associado a uma instalação e possui a estrutura seguinte:

$$\Phi(i(c, k), r(X_{ck}, Y_{ck}, C_{ck}, L_{ck}, F))$$

Como se mostrou na secção 5.1, esta estrutura associada a cada instalação, representada pela extensão do predicado  $\Phi$ , define completamente a sua posição na planta bem como a sua forma por intermédio das variáveis de decisão respectivas.

A lista  $\{\Phi\}$  é um dos componentes do estado inicial. O estado inicial possui ainda uma outra componente que consiste na função de avaliação das soluções, sendo esta representada por um termo linear. A construção deste termo linear, que é usado na avaliação das soluções, foi já descrita na secção 5.3.1. Deste modo, a face visível do estado inicial do motor da PLR é representada pelo seguinte predicado  $\Pi$ , onde  $\{\Phi\}$  é a lista de todas as instalações a dispor na planta e  $t_{Custo}$  é o termo linear que representa a função de avaliação.

$$\Pi(\{\Phi\}, t_{Custo})$$

De acordo com a metodologia *GeRL*, o estado inicial do motor da PLR na resolução de um dado problema é essencial para a criação de novos indivíduos e para a execução dos operadores genéticos. De facto, a representação das soluções que se propõe é uma representação directa e baseia-se na lista  $\{\Phi\}$  presente no primeiro argumento do estado inicial. Esta lista  $\{\Phi\}$  serve de molde para os cromossomas de todos os indivíduos que estarão presentes na população ao longo das gerações. Portanto, cada gene tem uma estrutura  $\Phi$  que representa a informação genética da respectiva instalação. Relativamente à função de avaliação  $t_{Custo}$ , que é o segundo argumento do estado inicial, esta pode ter também alguma utilidade para os operadores genéticos, nomeadamente se estes consistirem num algoritmo específico de optimização local, embora, neste trabalho, o seu uso se destine essencialmente ao cálculo do valor de aptidão dos indivíduos.

Com base no termo  $t_{Custo}$ , que representa a funç o de avaliaç o, a determinaç o do valor de aptid o dos indiv duos   uma tarefa simples. Depois de se terem instanciado todas as vari veis de decis o presentes em  $\{\Phi\}$  basta uma simples linha de c digo na linguagem de programaç o Prolog para se determinar o custo da respectiva soluç o:

Custo is T\_custo.

em que  $Custo$    o valor do custo da soluç o e  $T\_Custo$    o termo linear que representa a funç o de avaliaç o. No entanto, a aplicaç o dos operadores gen ticos pode gerar indiv duos inconsistentes com as restriç es do problema. Se for admiss vel a sua exist ncia na populaç o, o c lculo dos respectivos valores de aptid o ter  de ser efectuado de outra forma. Em princ pio, estes indiv duos dever o apresentar um valor de aptid o nulo ou bastante baixo, para que n o sobrevivam por muito tempo. Deste modo, para tratar todas as situaç es   usado o procedimento da Figura 7-5. Refira-se que a extens o do predicado *maxdominio/2* devolve no segundo argumento o maior valor presente no dom nio da vari vel do primeiro argumento. Note-se que uma vari vel instanciada possui, implicitamente, um dom nio de tamanho unit rio. Portanto, quando   avaliada uma soluç o inv lida,   retornado o limite superior do valor de custo que qualquer soluç o poder  apresentar.

```
plr_avaliacao( Indivuido( _, tCusto ), Custo )  
    Var = tCusto,
    maxdominio( Var, Custo ).
```

Figura 7-5: O c lculo do custo das soluç es.

Como o problema em quest o   um problema de minimizaç o, em que as melhores soluç es s o aquelas que possuem o menor custo,   necess rio usar um funç o de convers o do valor de avaliaç o ( $f_c$ ) no valor de aptid o ( $f_a$ ). Uma possibilidade   a funç o de convers o dada pela express o (7-1), sendo  $c$  um valor constante parametriz vel ou calculado em funç o de todos os valores de avaliaç o dos indiv duos presentes na populaç o.

$$f_a = c \times \frac{1}{f_c} \quad (7-1)$$



Considerando o primeiro argumento do estado inicial do motor da PLR é possível aplicar o método de hibridização de Banier e Brisset (1998) descrito na secção 6.4.1 na resolução de PPLI. Este método é, como se referiu, independente dos problemas e satisfaz o principal requisito presente na escolha do método tratado neste capítulo para a resolução de PPLI. Este requisito passa pela escolha de um método capaz de encontrar boas soluções e que, ao mesmo tempo, não necessite de explorar todo o espaço de soluções. No entanto, optou-se por uma solução alternativa que se baseia na metodologia *GeRL*, e que incorpora nos operadores genéticos algum conhecimento específico do domínio do problema em questão. De facto, a incorporação deste tipo de conhecimento relaciona-se com um dos princípios relativos às linhas gerais de orientação para a hibridização defendidas por Davis (1991).

De acordo com o método desenvolvido, os indivíduos presentes na população do AG são soluções completas para o problema. Cada uma destas soluções resulta da instanciação de todas as variáveis de decisão com um valor do seu respectivo domínio que satisfaz as restrições do problema. A geração de novos indivíduos para a população inicial assemelha-se, portanto, a um procedimento de etiquetagem padrão que utiliza heurísticas específicas de ordenação de variáveis e de valores.

Um dos requisitos para que um AG proporcione boas soluções consiste em obter uma população inicial que possua um elevado grau de diversidade. Para conseguir isso, os indivíduos da população inicial devem representar soluções uniformemente distribuídas por todo o espaço de soluções. No caso dos PPLI isto pode ser conseguido pela disposição aleatória das instalações na planta. O mecanismo de propagação assegura que as soluções geradas são consistentes com as restrições do problema. Um possível algoritmo responsável por criar novos indivíduos é recursivo e encontra-se representado na Figura 7-6. Repare-se que este algoritmo não é mais do que um simples procedimento de etiquetagem padrão. Em termos funcionais e em cada iteração é escolhida uma instalação de forma aleatória à qual é dada uma forma, escolhida também de forma aleatória. A escolha da instalação é efectuada pela extensão do predicado *remove\_rnd/3* e a escolha da forma é realizada com a extensão do predicado *nodominio/2*, usando a heurística de ordem de selecção de valores *rnd*, que impõe uma ordem de selecção de valores aleatória. Note-se que,

dado que a  rea tem um valor fixo, uma vez definido o comprimento (largura) por propagaç o a largura (comprimento)   automaticamente definida. Por fim a instalaç o escolhida   colocada na planta atrav s da instanciaç o das suas vari veis relacionadas com as coordenadas e de acordo com a heur stica de ordem de selecç o de valores  $\lambda$ .

```

novo_individuo(  $\Pi(\{\Phi\}, \_)$ ,  $\lambda$ )  $\leftarrow$ 
  novo_individuo( $\{\Phi\}$ ,  $\lambda$ ).

novo_individuo( [ ],  $\_$  ).
novo_individuo(  $\{\Phi\}$ ,  $\lambda$ )  $\leftarrow$ 
  remove_rnd( (  $\_$ , r( X, Y, C, L,  $\_$  ) ),  $\{\Phi\}$ , T ),
  nodominio( C, rnd ),   nodominio( L, rnd ),
  nodominio( X,  $\lambda$  ),   nodominio( Y,  $\lambda$  ),
  novo_individuo( T,  $\lambda$  ).

```

Figura 7-6: Algoritmo respons vel por gerar novos indiv duos.

### 7.2.3 Operador de Recombinaç o

Como foi referido na secç o anterior, os operadores gen ticos desenvolvidos incorporam conhecimento espec fico do dom nio do problema em quest o. Para o operador de recombinaç o este conhecimento relaciona-se com a posiç o que cada uma das instalaç es ocupa na planta. Em termos funcionais este operador de recombinaç o começa numa primeira fase por construir dois conjuntos mutuamente disjuntos  $S_1$  e  $S_2$ . Estes conjuntos cont m a identificaç o de instalaç es. Todas as instalaç es a dispor na planta devem estar ou identificadas em  $S_1$  ou  $S_2$ . Estes conjuntos s o, portanto, mutuamente exclusivos e complementares. O tamanho de cada um dos dois conjuntos   escolhido de forma aleat ria, embora, obviamente, o tamanho de um dependa do tamanho do outro. Deste modo, os tamanhos de  $S_1$  e  $S_2$  s o determinados, respectivamente, pela express o (7-2)<sup>4</sup> e (7-3). Note-se que o tamanho de  $S_1$    sempre igual ou inferior ao tamanho de  $S_2$  e que  $n$  corresponde ao n mero total de instalaç es a dispor na planta. A escolha das instalaç es indicadas em cada um dos conjuntos tamb m   efectuada de forma aleat ria.

$$|S_1| = \max\left(2; \text{aleatorio}\left(1; \lfloor \frac{n}{2} \rfloor\right)\right) \quad (7-2)$$

$$|S_2| = n - |S_1| \quad (7-3)$$

Estes dois conjuntos constituem os parâmetros de controlo para a recombinação dos dois indivíduos progenitores seleccionados para reprodução. Com estes parâmetros de controlo a recombinação é efectuada em três etapas para cada um dos descendentes.

1. Considerando um dos progenitores, são colocadas na planta todas as instalações identificadas no conjunto  $S_2$ . Estas são colocadas na mesma posição que a definida pelo progenitor considerado. O formato destas instalações também é mantido. Isto corresponde a copiar os genes relativos às instalações identificadas em  $S_2$  do progenitor considerado para o descendente. Dado que o progenitor representa uma solução consistente então a solução parcial resultante representada pelo descendente também é consistente;
2. Considera-se o conjunto  $S_1$  e o outro progenitor e coloca-se apenas as instalações identificadas em  $S_1$  na mesma posição que a definida pelo progenitor se o espaço que ocupam nessa posição estiver ainda disponível. A colocação de cada uma das instalações identificadas em  $S_1$  também está dependente de ser possível garantir a consistência com as restrições do problema para que estas possam ser colocadas na planta;
3. Nesta última etapa, as instalações que ainda não foram colocadas na planta, quer por não existir espaço suficiente disponível no local pretendido ou a sua colocação originar inconsistência com uma ou mais restrições do problema, são colocadas nas regiões da planta que permanecem vazias e que permitam a construção de uma solução consistente.

Nestas duas últimas etapas, o formato das instalações é definido de acordo com o formato que possuem no segundo progenitor. A última etapa usa um

---

<sup>4</sup> A função *aleatório*( $n, m$ ) devolve um valor inteiro gerado aleatoriamente no intervalo de  $n$  a  $m$ .

procedimento de etiquetagem t pico da PLR(DF) de modo a que a soluç o seja consistente. A construç o dos dois indiv duos resultantes da operaç o de recombinaç o   efectuada para cada um deles com o algoritmo da Figura 7-7. Recorde-se que a operaç o de recombinaç o, tal como prop e a metodologia GeRL,   efectuada geralmente com o procedimento indicado na Figura 6-16. Este utiliza a extens o do predicado *recombinacao/4* para efectivamente realizar esta operaç o.

```

recombinacao( Π( {Φ}, _ ), [ S1, S2, λ ], P1, P2 ) ←
  recomb_etapa_1( {Φ}, S2, P1 ),
  recomb_etapa_2( {Φ}, S1, P2, [ ], Resto ),
  recomb_etapa_3( {Φ}, Resto, λ, P2 ).

recomb_etapa_1( _, [ ], _ ).
recomb_etapa_1( {Φ}, [ S|Ss ], P ) ←
  membro( ( S, R ), {Φ} ),  membro( ( S, R ), P ),
  !,
  recomb_etapa_1( {Φ}, Ss, P ).
recomb_etapa_1( {Φ}, [ _|Ss ], P ) ←
  recomb_etapa_1( {Φ}, Ss, P ).

recomb_etapa_2( _, [ ], _, Falha, Falha ).
recomb_etapa_2( {Φ}, [ S|Ss ], P, Acc, Falha ) ←
  membro( ( S, R ), {Φ} ),  membro( ( S, R ), P ),
  !,
  recomb_etapa_2( {Φ}, Ss, P, Acc, Falha ).
recomb_etapa_2( {Φ}, [ S|Ss ], P, Acc, Falha ) ←
  recomb_etapa_2( {Φ}, Ss, P, [S|Acc], Falha ).

recomb_etapa_3( _, [ ], _, _ ).
recomb_etapa_3( {Φ}, [ S|Ss ], λ, P ) ←
  membro( ( S, ( _, r( X, Y, C, L, _ ) ) ), {Φ} ),
  membro( ( S, ( _, r( _, _, C, L, _ ) ) ), P ),
  nodominio( X, λ ),  nodominio( Y, λ ),
  recomb_etapa_3( {Φ}, Ss, λ, P ).
recomb_etapa_3( {Φ}, [ _|Ss ], λ, P ) ←
  recomb_etapa_3( {Φ}, Ss, λ, P ).

```

Figura 7-7: Algoritmo para o operador de recombinaç o.

De modo a, eventualmente, obter alguns ganhos de desempenho,   ainda poss vel considerar uma simplificaç o para este operador de recombinaç o. Esta simplificaç o passa por eliminar a segunda etapa do operador e considerar a colocaç o das instalaç es que eventualmente seriam colocadas nesta segunda etapa

usando o procedimento de colocação das instalações da terceira etapa. A Figura 7-8 ilustra graficamente o operador de recombinação em acção considerando um hipotético PPLI com oito instalações sem nenhuma restrição particular.

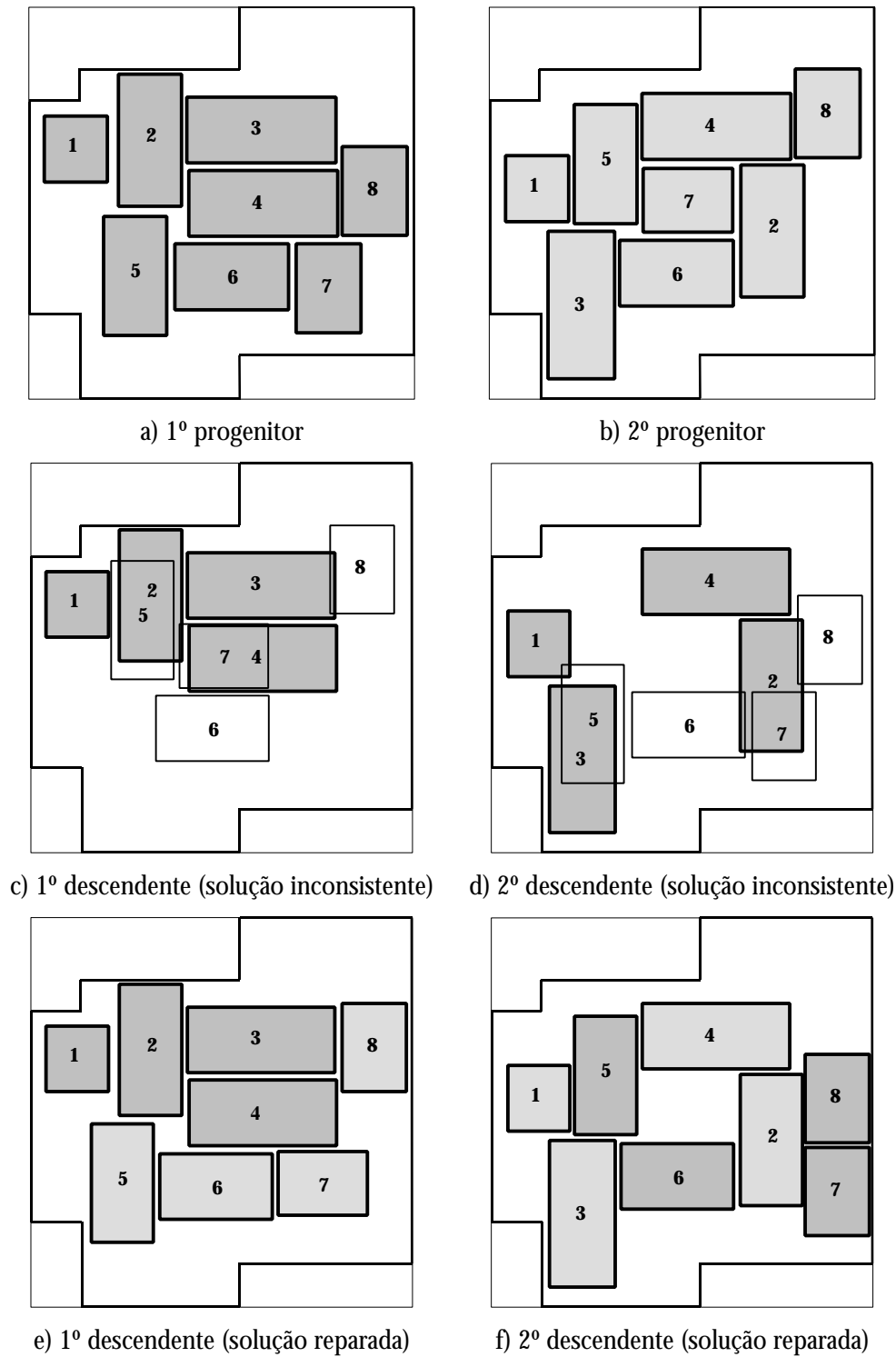


Figura 7-8: Um exemplo de um operador de recombinação.

Este operador de recombinaç o deve assegurar que as soluç es resultantes representadas pelos descendentes devem ser consistentes com as restriç es do problema. No entanto, em determinadas situaç es o operador de recombinaç o pode falhar na construç o de um descendente. Estas situaç es ocorrem quando o operador n o consegue dispor algumas das instalaç es identificadas em  $S_1$  nas  reas dispon veis que restam na planta ou, ent o, pela colocaç o destas nas  reas dispon veis ser incompat vel com as restriç es do problema. Nesta situaç o de falha poder o ser consideradas tr s situaç es:

1.   atribuído um valor de aptid o muito baixo, ou mesmo nulo, a este ‘indiv duo’ descendente que representa uma soluç o inconsistente e, portanto, possui uma baixa probabilidade de sobreviver para as geraç es seguintes;
2. O indiv duo descendente que representa uma soluç o inconsistente   substituído por um dos seus progenitores;
3.   criado um novo indiv duo que toma o lugar do indiv duo descendente que representa uma soluç o inconsistente.

Na primeira situaç o, se o indiv duo conseguir sobreviver para a geraç o seguinte, deve-se ter o cuidado de n o o seleccionar para operaç es de cruzamento ou mesmo de mutaç o. A segunda situaç o   equivalente a introduzir na populaç o uma c pia de um indiv duo j  existente o que tem como principal inconveniente o de originar alguma perda de diversidade na populaç o, e portanto, aumentando a tend ncia para o AG convergir para um m nimo local. Por  ltimo, na terceira situaç o, a introduç o de um novo indiv duo na populaç o tem como consequ ncia o aumento da diversidade da populaç o levando   exploraç o de diferentes regi es do espaço de soluç es e, por este motivo,   esta a situaç o adoptada.

## 7.2.4 Operador de Mutaç o

Tal como o operador de recombinaç o, o operador de mutaç o tamb m usa algum conhecimento espec fico do dom nio do problema em quest o. O operador de mutaç o altera o valor de um ou mais genes de um dado indiv duo. De certa forma, o

operador de recombinação descrito na secção anterior efectua uma forma específica de mutação. Esta forma específica de mutação consiste em alterar a posição de algumas instalações na planta. No entanto, é essencial, no processo de evolução, que de vez em quando a forma das instalações também se modifique. Esta alteração da forma das instalações é explicitamente realizada pelo operador de mutação. Entre diferentes possibilidades para este operador de mutação são consideradas as duas alternativas seguintes:

1. Escolher um valor diferente para o comprimento (largura) de uma instalação escolhida aleatoriamente. Esta alteração tem como efeito o de modificar a forma da instalação quando esta pode tomar diversas formas ou alterar sua orientação na planta quando a sua forma é fixa;
2. Seleccionar aleatoriamente um conjunto de  $n$  instalações, sendo  $n$  um valor também aleatório e inferior ao número de instalações a colocar na planta. A forma de cada uma destas instalações escolhidas é modificada também de forma aleatória. Este operador também pode ser dividido em duas subcategorias, uma que requer que as instalações seleccionadas sejam adjacentes entre si e outra em que este requisito não seja obrigatório. Se as instalações são adjacentes entre si é ainda necessário decidir se mantêm as suas posições relativas na planta.

Para assegurar que as soluções sejam consistentes após a operação de mutação é normalmente necessário colocar estas instalações em locais diferentes das posições originais dado que as novas formas podem ser incompatíveis com área originalmente ocupada. Isto é também uma forma de mutação.

De acordo com as possibilidade referidas para o operador de mutação propõe-se um operador que, em termos funcionais, começa por determinar quantos e quais os genes que devem ser modificados. Estes genes, que serão modificados, são seleccionados aleatoriamente. Para isso é construído o conjunto  $M$  que identifica quais os genes (instalações) que serão modificados e que possui um tamanho dado pela expressão (7-4), onde  $n$  é o número de genes (instalações), e um conjunto  $S$  que é o conjunto complementar de  $M$  e cujo tamanho é dado pela expressão (7-5).

$$|M| = \max(2; \text{aleatorio}(1; \lfloor \frac{n}{2} \rfloor)) \quad (7-4)$$

$$|S| = n - |M| \quad (7-5)$$

O conjunto  $M$  e o conjunto  $S$  constituem os par metros de controlo da operaç o de mutaç o. Com estes dois conjuntos, a operaç o começa por copiar todos os genes em  $S$  e de seguida termina com a colocaç o das instalaç es (genes) em  $M$  nas  reas da planta ainda dispon veis ap s a escolha aleat ria de uma nova forma. A implementaç o do operador de mutaç o   feita de acordo com o algoritmo da Figura 7-9. Este algoritmo, representado pela extens o do predicado *mutacao/3*,   utilizado pelo procedimento da Figura 6-17 sempre que se realiza uma operaç o de mutaç o.

```

mutacao( Pi( {Phi}, _ ), [ S, M, lambda ], I) ←
    mutacao_etapa_1( {Phi}, S, I),
    mutacao_etapa_2( {Phi}, M, lambda).

mutacao_etapa_1( _, [], _).
mutacao_etapa_1( {Phi}, [ S|Ss ], I) ←
    membro( ( S, R ), {Phi} ),
    membro( ( S, R ), I),
    !,
    mutacao_etapa_1( {Phi}, Ss, I).
mutacao_etapa_1( {Phi}, [ _|Ss ], I) ←
    mutacao_etapa_1( {Phi}, Ss, I).

mutacao_etapa_3( _, [], _).
mutacao_etapa_3( {Phi}, [ S|Ss ], lambda) ←
    membro( ( S, ( _, r(X, Y, C, L, _ ) ) ), {Phi} ),
    nodominio( C, rnd ),
    nodominio( L, rnd ),
    nodominio( X, lambda ),
    nodominio( Y, lambda ),
    mutacao_etapa_3( {Phi}, Ss, lambda ).
mutacao_etapa_3( {Phi}, [ _|Ss ], lambda) ←
    mutacao_etapa_3( {Phi}, Ss, lambda ).

```

Figura 7-9: Algoritmo para o operador de mutaç o.

A Figura 7-10 mostra um exemplo do resultado de um operador de mutaç o que modifica dois genes. Este modificou a orientaç o na planta das instalaç es correspondentes, tendo tamb m alterado as suas posiç es na planta. A Figura 7-11



mostra o mesmo exemplo, mas neste caso, é a forma das duas instalações que é modificada.

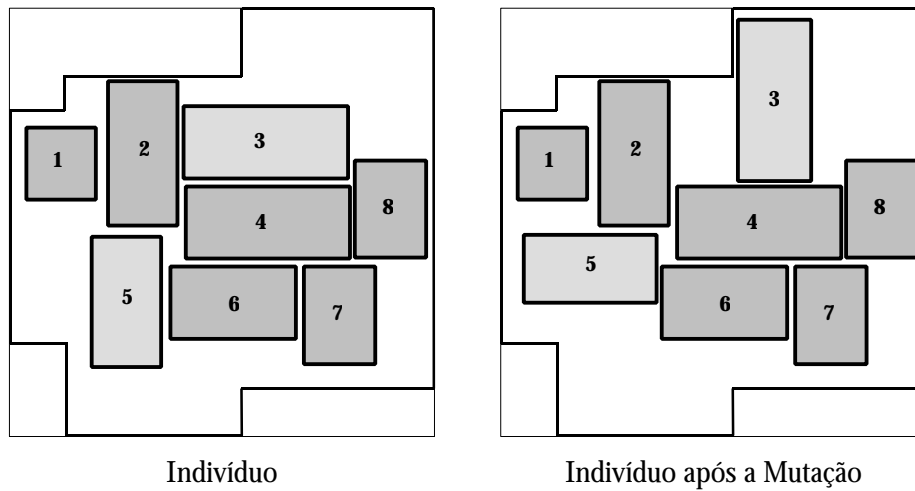


Figura 7-10: Um exemplo de uma operação de mutação com alteração de orientação de algumas instalações.

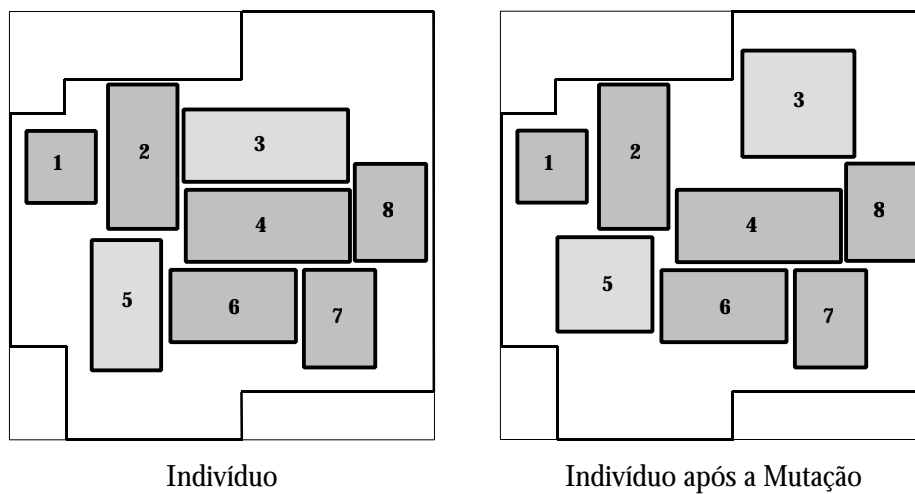


Figura 7-11: Um outro exemplo de uma operação de mutação com alteração do formato de algumas instalações.

Os indivíduos resultantes de operações de mutação devem também representar soluções consistentes com as restrições do problema, tal como acontece com o operador de recombinação. Portanto este operador de mutação também é susceptível de falhar ao realizar uma mutação, devido aos mesmos motivos que foram apontados para o operador de recombinação. Assim, em caso de falha, poderão ser consideradas as mesmas três situações identificadas atendendo às vantagens e inconvenientes que estas apresentam.

## **7.2.5 Os Operadores Gen ticos e os Diferentes Tipos de Restriç es**

Os operadores gen ticos de recombinaç o e mutaç o descritos foram concebidos tendo em conta, fundamentalmente, os problemas sem quaisquer requisitos especiais e onde as restriç es de ‘n o sobreposiç o’ e as restriç es relacionadas com a forma das instalaç es s o as  nicas presentes. As experi ncias efectuadas com alguns problemas sem qualquer tipo de restriç es espec ficas, de que se dar o conta dos resultados em secç es seguintes, mostraram um n mero de falhas relativamente pequeno (inferir a 5% relativamente ao n mero total operaç es de recombinaç o e de mutaç o) realizadas. Recorde-se que as falhas ocorrem quando os operadores gen ticos n o conseguem construir soluç es consistentes com as restriç es do problema em quest o. Verificou-se tamb m existir uma relaç o entre este n mero de falhas com a raz o entre a  rea da planta e  rea total necess ria para dispor todas as instalaç es.    bvio que, para as mesmas instalaç es, quanto maior for a  rea da planta, maior   a possibilidade de um operador gen tico ter sucesso e menor ser  o esforço computacional para encontrar uma soluç o consistente com as restriç es do problema.

Ao serem adicionadas outros tipos de restriç es para expressar requisitos espec ficos relativamente   instancia do problema a solucionar, e de acordo com algumas experi ncias efectuadas, verificou-se um aumento do n mero de falhas.   claro que as restriç es adicionais limitam ainda mais o espaço de soluç es, obrigando a um maior esforço computacional para encontrar soluç es vi veis. Atendendo   forma como os operadores gen ticos operam, verifica-se que este aumento do n mero de falhas est  relacionado com determinadas restriç es bin rias, nomeadamente as restriç es de dist ncia, de vizinhança e adjac ncia. Para limitar o efeito que estes tipos de restriç es t m sobre o n mero de falhas,   imposta uma condiç o relativamente   forma como os operadores gen ticos seleccionam as instalaç es. Esta condiç o obriga a que, quando uma instalaç o   seleccionada para um dos conjuntos que definem os par metros de controlo do operador, as outras instalaç es que se relacionam com a primeira, atrav s de uma destas restriç es bin rias dos tipos que foram referidos, devem estar tamb m presentes nesse

conjunto. Verificou-se que, ao se considerar esta condição, o aumento do número de falhas é inferior.

Por último, verifica-se que, se a ordem com que as instalações são colocadas na planta tiver também em consideração os tipos de restrições binárias referidos, o desempenho na construção das novas soluções, não só por intermédio do operadores genéticos, mas também na criação de novos indivíduos, apresenta algumas melhorias. Este facto leva a que duas instalações que participam numa restrição binária sejam consecutivas na ordem em que são colocadas na planta. Em situações de conflito é dada prioridade às restrições de adjacência, depois às restrições de vizinhança, e por último às restrições de distância.

### **7.2.6 Problemas de Planeamento de Espaço**

Um dos requisitos fundamentais que estiveram presentes na concepção dos operadores genéticos propostos passou por dota-los de um desempenho tão bom quanto possível. Este requisito não foi fácil de satisfazer, principalmente se se atender aos resultados obtidos com o *LaRLo*, indicados na secção 5.3, relativos ao tempo de processamento que foi gasto para encontrar a primeira solução. Considerando um AG típico que possui uma população de 100 indivíduos e que a evolução decorre ao longo de 100 gerações, esta poderá em cada geração realizar no máximo 50 recombinações gerando 100 descendentes. Se em média cada operação de recombinação necessitar de um tempo de processamento igual a 1 segundo, sem atender ao operador de mutação, o AG só terminaria ao fim de aproximadamente uma hora. Considerando que o *LaRLo* na resolução do problema ‘ppli15’ demorou em média mais de 10 segundos para encontrar a primeira solução é de esperar que um AG com as características descritas necessite de aproximadamente 20 horas.

A primeira versão do protótipo do *LayGeRL*, embora mostrando um desempenho melhor do que as expectativas iniciais, atendendo ao desempenho do *LaRLo*, apresentou um desempenho relativamente fraco relativamente ao desejado. Há que salientar que a solução encontrada para um dado PPLI em concreto, depois de implementada, deverá estar operacional, em princípio, ao longo de alguns anos e, deste modo, é razoável dispensar algumas horas, ou mesmo dias, na sua resolução.

De qualquer forma, para melhorar o desempenho do *LayGeRL*, verificou-se que grande parte do tempo de processamento   gasto no mecanismo de propagaç o e em retrocessos devido a tentativas de atribuiç o de valores  s vari veis de decis o do seu respectivo dom nio e que originam ramos na  rvore de pesquisa que n o levam a soluç es consistentes com as restriç es do problema. Para minimizar este tempo gasto com o mecanismo de propagaç o e com os retrocessos,   necess rio em primeiro lugar constatar que o PPLI  , essencialmente, um problema de planeamento de espaço a duas dimens es. No formalismo da  $PLR(DF)$  o dom nio das vari veis   unidimensional e geralmente discreto. O uso de vari veis que possuem dom nios unidimensionais pode n o ser a forma mais adequada para solucionar os problemas de planeamento espacial.

Assim, com o objectivo de melhorar o desempenho, foi desenvolvido um m todo que usa informaç o espacial bidimensional permitindo, assim, tratar alguns dos problemas de planeamento de espaço de um modo mais natural. De uma forma simplificada, este m todo consiste em colocar um conjunto de objectos rectangulares  $\{R\}$  dentro de um outro objecto rectangular  $P$  maior, denominado por planta. Os objectos s o colocados um a um e, em cada instante, existe um registo do espaço dispon vel em  $P$  para os objectos por colocar. Este registo do espaço dispon vel em  $P$  pode ser considerado como uma esp cie de dom nio espacial que tem a seguinte forma:

$$[r_1, \dots, r_p, \dots, r_k].$$

Este dom nio espacial consiste numa lista de rect ngulos que se podem sobrepor e que indicam regi es em  $P$  livres para colocar os objectos  $\{R\}$ . Sempre que um objecto   colocado em  $P$  este dom nio espacial   actualizado. Este m todo considera o dom nio espacial associado a  $P$  e n o a cada um dos objectos  $\{R\}$ . A Figura 7-12 mostra um caso em que dom nio espacial de  $P$ , ap s a colocaç o do objecto  $R_1$ ,    $[r_1, r_2, r_3, r_4]$ . A partir deste momento a colocaç o de  $R_2$  em  $P$  s o   poss vel se ocorrer dentro de um dos rect ngulos que definem o dom nio espacial de  $P$ . O algoritmo respons vel pela actualizaç o do dom nio espacial   o algoritmo *rever* indicado na Figura 7-13. Em funç o do dom nio espacial de  $P$  ( $Dom$ ) e da regi o que o objecto  $R$  ir  ocupar, representada por  $r(x,y,c,l)$ , este devolve o dom nio

especial que resulta da colocação de  $R$ . Os rectângulos do domínio espacial cujos comprimento ou largura sejam inferiores a, respectivamente,  $Cmin$  e  $Lmin$  não são considerados no domínio espacial resultante. Este algoritmo retorna um domínio espacial que possui o número mínimo de rectângulos que definem completamente o domínio, o que significa que nenhum rectângulo presente no domínio está incluído noutra.

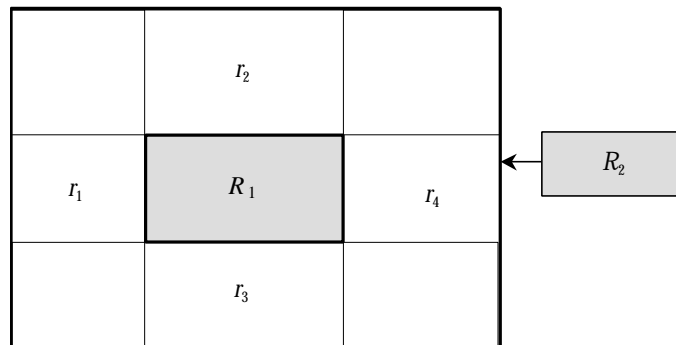


Figura 7-12: O domínio espacial de uma planta após a colocação de  $R_1$  e que define quais as regiões admissíveis para a colocação de  $R_2$ .

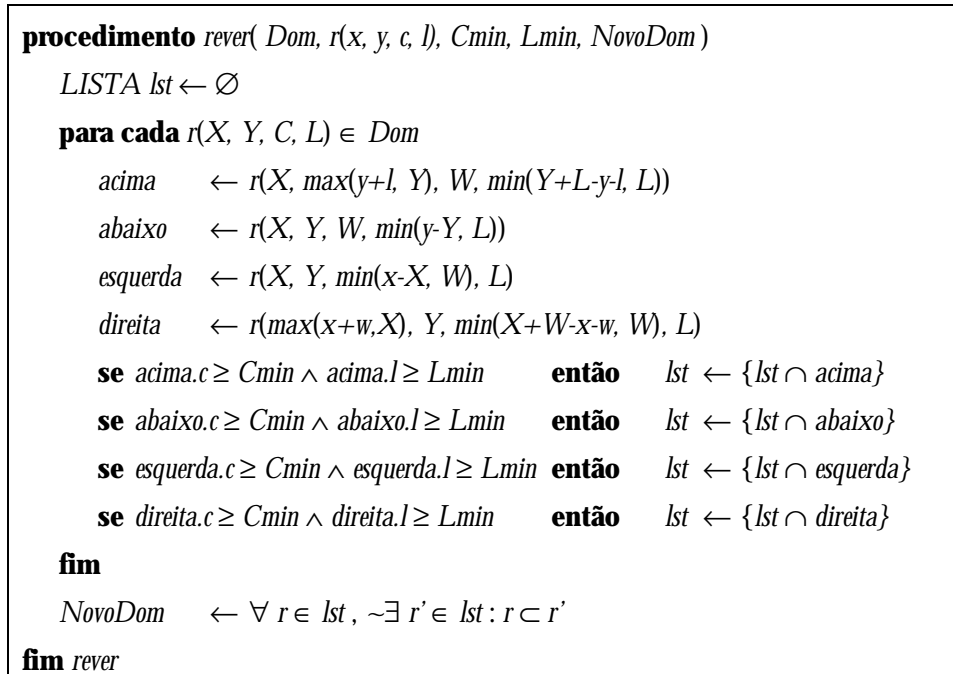


Figura 7-13: Algoritmo *REVER* para realizar a actualização do domínio espacial.

Note-se que, em última análise, este método poderá evoluir para um meta-interpretador de restrições particular em que cada variável é representada por

um objecto rectangular e em que o dom nio de cada uma   um dom nio espacial. As restriç es estabelecem relaç es entre objectos que devem ser satisfeitas.

Como se deve ter verificado, sempre que um objecto rectangular  $R$    colocado em  $P$ , a actualizaç o do dom nio espacial com o algoritmo *rever* constitui um forma impl cita da restriç o de ‘n o sobreposiç o’. Embora se possam considerar outros tipos de restriç es,   apenas esta forma da restriç o (‘n o sobreposiç o’) que se considera no m todo. De acordo com o modelo adoptado para os PPLI,   este tipo de restriç es que possui o maior peso em relaç o ao n mero total de restriç es a tratar pelo mecanismo de propagaç o de restriç es.

A utilizaç o do m todo no *LayGeRL* considera que cada instalaç o corresponde a um objecto rectangular e a planta fabril   a planta  $P$  onde se disp em as instalaç es. Quando a planta fabril, representada por  $P$ , n o possui uma forma rectangular   necess rio construir o dom nio espacial inicial da planta pela exclus o das  reas que n o pertencem   planta do rect ngulo que a envolve. Como j  foi referido, considera-se que estas  reas possuem uma forma rectangular. Deste modo, o dom nio espacial inicial   determinado, com o aux lio do algoritmo *rever*, pela ‘colocaç o’ de objectos rectangulares, que representam estas  reas, no rect ngulo que envolve a planta fabril real. A Figura 7-14 mostra um exemplo de uma planta com uma forma n o rectangular onde se pretendem colocar as instalaç es  $I_1$  e  $I_2$ .

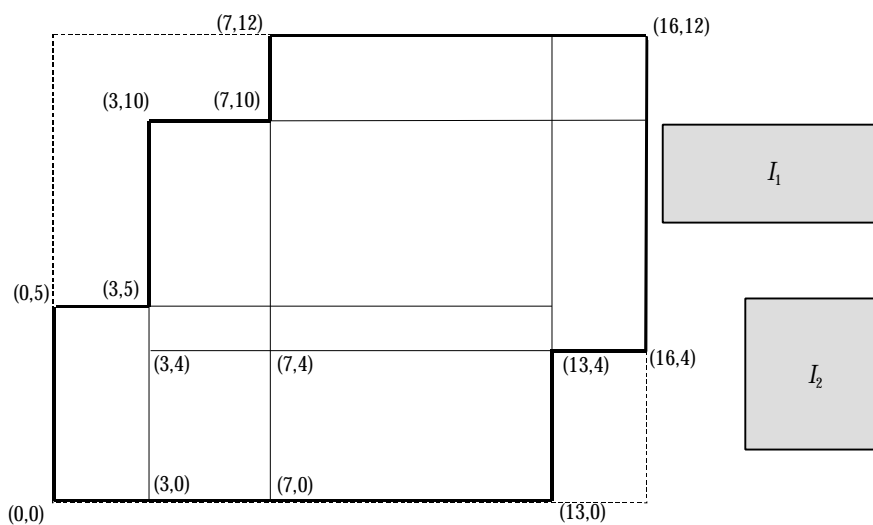


Figura 7-14: O dom nio espacial inicial duma planta  $P$  onde se pretende colocar  $I_1$  e  $I_2$ .

De acordo com o exemplo da Figura 7-14, o uso sucessivo do algoritmo *rever* para cada uma das regiões não pertencentes à planta resulta no domínio espacial inicial de  $P$  seguinte

$$[ r(0, 0, 13, 5), r(3, 4, 13, 6), r(7, 4, 9, 8), r(3, 0, 10, 10), r(7, 0, 6, 12) ].$$

Colocando de seguida a instalação  $I_1$  em  $P$ , tal como se ilustra na Figura 7-15, resulta que o domínio espacial de  $P$  actualizado passa a ser o seguinte, considerando que são admitidas instalações que possuem valores para o comprimento e/ou para a largura iguais ou superiores a 1 unidade.

$$[ r(0, 0, 13, 3), r(0, 0, 5, 5), r(12, 0, 1, 5), r(3, 6, 13, 4), r(3, 4, 2, 6), r(12, 4, 1, 6), r(7, 6, 9, 6), r(12, 4, 4, 8), r(3, 0, 2, 10), r(3, 0, 10, 3), r(3, 6, 10, 4), r(12, 0, 1, 10), r(7, 0, 6, 3), r(7, 6, 6, 4), r(12, 0, 1, 12) ].$$

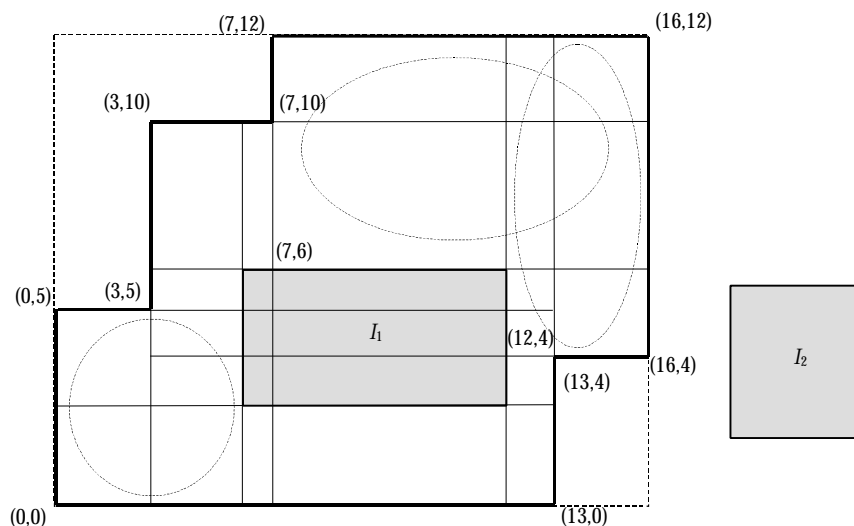


Figura 7-15: O domínio espacial duma planta  $P$  onde se pretende colocar o objecto  $I_2$  após a colocação de  $I_1$ .

Admitindo que  $I_2$  pode tomar unicamente a forma que é indicada na Figura 7-15, então a sua colocação em  $P$  considera apenas as áreas  $r(0, 0, 5, 5)$ ,  $r(7, 6, 9, 6)$ ,  $r(12, 4, 4, 8)$  do domínio espacial de  $P$  indicadas na figura por uma oval, uma vez que as restantes não podem acomodar  $I_2$ .

A construção dos indivíduos, tanto na criação de novos indivíduos como na execução dos operadores genéticos, requer que a instanciação das variáveis de decisão relativas a cada instalação, que seria efectuado usando simplesmente a

extens o do predicado *nodominio/2* para cada uma das vari aveis, passe a ser efectuada de acordo com o algoritmo indicado na Figura 7-16 que   representado pela extens o do predicado *rect\_nodominio/4*. Repare-se que este comea por escolher a forma para a instalaç o e de seguida exclui as  reas que n o podem acomodar esta instalaç o com a forma escolhida por via da extens o do predicado *rectangulos\_validos/4*. O passo seguinte passa por limitar a posiç o da instalaç o a uma das restantes regi es. Este processo termina quando a instalaç o   colocada na planta.

```

rect_nodominio( r( X, Y, C, L, _ ), λ, Rects, Novos_Rects ) ←
  forma( C, L ),
  rectangulos_validos( Rects, 2 * C, 2 * L, Validos ),

  membro( r( Xd, Yd, Cd, Ld ), Validos ),
  X ≥ Xd + C,   X ≤ Xd + Cd - C,
  Y ≥ Yd + L,   Y ≤ Yd + Ld - L,
  dispor( [X, Y], λ ),

  rever( Rects, r( X - C, Y - L, 2 * C, 2 * L ), 1, 1, Novos_Rects ).

forma( C, L ) ←
  nodominio( C, rnd ),
  nodominio( L, rnd ),
  !.

dispor( X, Y, λ ) ←
  nodominio( X, λ ),
  nodominio( Y, λ ),
  !.

```

Figura 7-16: Algoritmo para dispor uma instalaç o na planta fabril usando o dom nio espacial.

Dadas as caracter sticas do dom nio espacial existe sempre a possibilidade de a mesma posiç o ser explorada duas ou mais vezes. Isto acontece porque podem surgir  reas que s o comuns a diferentes rect ngulos do dom nio espacial e que permitem acomodar as instalaç es. Dado que   satisfat rio obter a primeira soluç o completa na execuç o dos operadores gen ticos, esta situaç o acaba por, em termos pr ticos, n o se revelar de grande import ncia. J  na aplicaç o deste m todo ao *LaRLo*, esta situaç o reveste-se de grande import ncia, dado que pode ter efeitos nefastos no desempenho, atendendo   forma como o espaço de soluç es   explorado.



## 7.3 *LayGeRL* na Resolução dos Casos de Teste

Esta secção destina-se a discutir alguns dos aspectos relacionados com a forma como o *LayGeRL* explora o espaço de soluções e a avaliar o seu desempenho em termos da qualidade das soluções proporcionadas em comparação com o *LaRLo*.

### 7.3.1 Exploração do Espaço de Soluções

O *LayGeRL* é um protótipo de uma aplicação baseada na metodologia *GeRL* para solucionar PPLI. A implementação do módulo relativo ao motor da PLR foi escrita para o meta-interpretador de PLR(DF) *ECLIPSe* 4.2 (Schimpf *et al*, 1999) e o módulo do processo principal é baseado no *GALib* (Wall, 1996).

O modelo de evolução escolhido para o AG usado no *LayGeRL* é um modelo de evolução intermédio que se situa entre o AG simples (Holland, 1975) e o AG de estado estacionário (Whitley, 1989). Em cada geração é seleccionada uma determinada percentagem de indivíduos da população para reprodução. Os descendentes resultantes são então inseridos na população por troca com os seus piores indivíduos. Esta percentagem de indivíduos substituídos na população em cada geração, denominada de taxa de substituição, é um dos parâmetros dos AG que usam este modelo de evolução. A selecção dos indivíduos, para a escolha dos progenitores para reprodução, é efectuada de acordo com a técnica de amostragem estocástica da roleta. A conversão dos valores de aptidão em valores de selecção é realizada de acordo com o método de conversão de escala linear.

Para parar a exploração do espaço de soluções, definiu-se um critério de paragem baseado em dois parâmetros. Um dos parâmetros é o número máximo de gerações em que a evolução deve ocorrer e o outro baseia-se no desvio padrão dos valores de aptidão dos indivíduos na população. A evolução termina quando, em primeiro lugar, a contagem das gerações for igual ou superior ao número máximo de gerações (considerou-se um número máximo de gerações igual a 20 vezes o número de genes) ou quando o desvio padrão dos valores de aptidão for inferior a 0,01% do custo do melhor indivíduo na população.

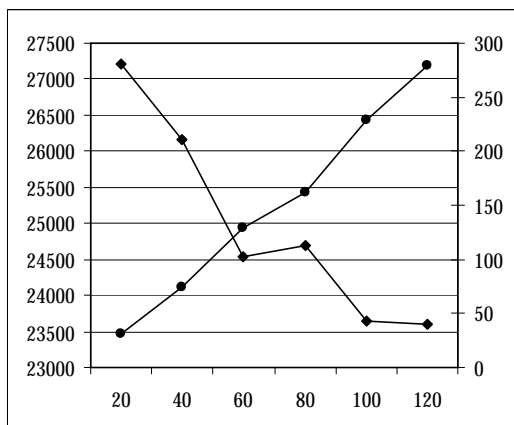
Os operadores genéticos implementados, de recombinação e mutação, seguem,

respectivamente, as especificações indicadas nas secções 7.2.3 e 7.2.4. Estes usam informação espacial de acordo com o método descrito na secção 7.2.6 para obter um melhor desempenho. O uso de informação espacial obriga a que as variáveis de decisão associadas a cada gene (ou instalação) sejam instanciadas de acordo com o algoritmo indicado na Figura 7-16. Um dos parâmetros deste algoritmo consiste na heurística para a ordem de selecção de valores  $\lambda$ . Depois de se efectuarem algumas experiências com diversos casos de teste verificou-se que a heurística que proporciona um melhor desempenho é a que selecciona em primeiro lugar os valores nas extremidades do domínio e depois alterna até ao valor médio. Considerando, por exemplo, o domínio 1..10, a ordem de selecção de valores de acordo com esta heurística é {1, 10, 2, 9, 3, 8, 4, 7, 5, 6}.

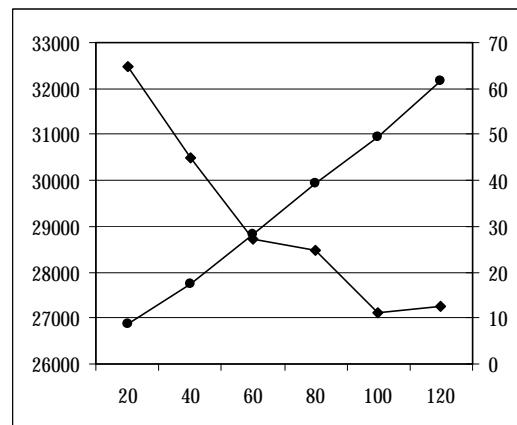
### **7.3.2 Influência dos Principais Parâmetros na Qualidade das Soluções**

Para determinar qual a melhor gama de valores para cada um dos principais parâmetros do AG que potencialmente permitem obter melhores resultados, tendo em conta o modelo de evolução escolhido e os operadores genéticos desenvolvidos, foram realizadas algumas experiências. Estes parâmetros são o tamanho da população, a taxa de substituição, a probabilidade de recombinação e a probabilidade de mutação. Estas experiências podem ser agrupadas em quatro categorias, de acordo com a influência que cada um dos parâmetros tem na qualidade das soluções. Deve referir-se que a melhor gama de valores obtida com as experiências para cada um dos parâmetros deve ser considerada meramente indicativa dado que a determinação do melhor valor para cada um dos parâmetros não é uma tarefa trivial. Os casos de teste escolhidos para estas experiências foram os problemas 'ppli8', 'ppli10' e 'ppli15'. As principais características destes casos foram já indicadas na Tabela 5-3. Relativamente ao problema 'ppli10' foi também considerada a situação em que se colocam restrições de adjacência entre pares de instalações, escolhidos também de acordo com o método de determinação da correspondência de peso máximo descrito na secção 5.3.5. Cada um dos casos de teste considerados foram solucionados 10 (dez) vezes para cada combinação de valores destes parâmetros.

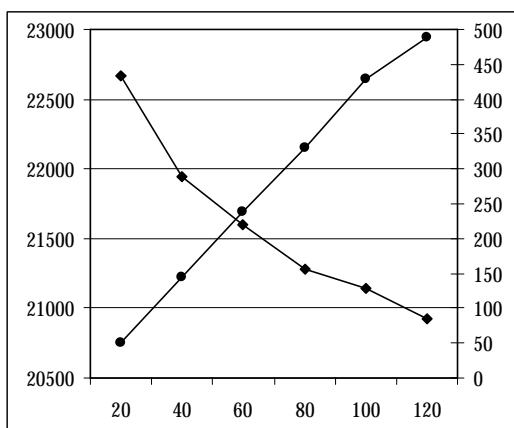
O primeiro parâmetro estudado foi a influência do tamanho da população na qualidade das soluções e no tempo de processamento gasto para os diferentes problemas. Os respectivos gráficos encontra-se indicados na Figura 7-17. Note-se que os gráficos apresentados nesta secção consideram os parâmetros analisados representados no eixo dos  $xx$ , o custo das soluções no eixo dos  $yy$  à esquerda e o tempo (em segundos) no eixo dos  $yy$  à direita.



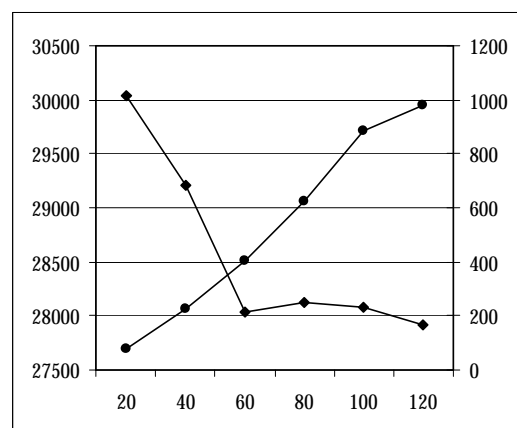
a) Problema 'ppli10'



c) Problema 'ppli8'



b) Problema 'ppli10' (restrições de adjacência)



d) Problema 'ppli15'

Taxa de substituição 0,4, prob. recombinação 0,8 e prob. mutação 0,1.

—◆— Custo Médio    —●— Tempo Médio

Figura 7-17: Evolução da qualidade das soluções e do tempo de processamento em função do tamanho da população.

Como seria de esperar o aumento do tamanho da população melhora a qualidade das soluções já que o seu custo é menor, mas, no entanto, esta melhoria é feita à custo de um aumento do tempo de processamento tal como seria de esperar.

Pela análise dos gráficos, é razoável considerar um bom compromisso o tamanho da população em torno dos 100 indivíduos.

O parâmetro seguinte é o valor da taxa de substituição. A relação que este parâmetro tem com a qualidade das soluções e com o tempo de processamento gasto para os diferentes problemas encontra-se representada nos gráficos Figura 7-18.

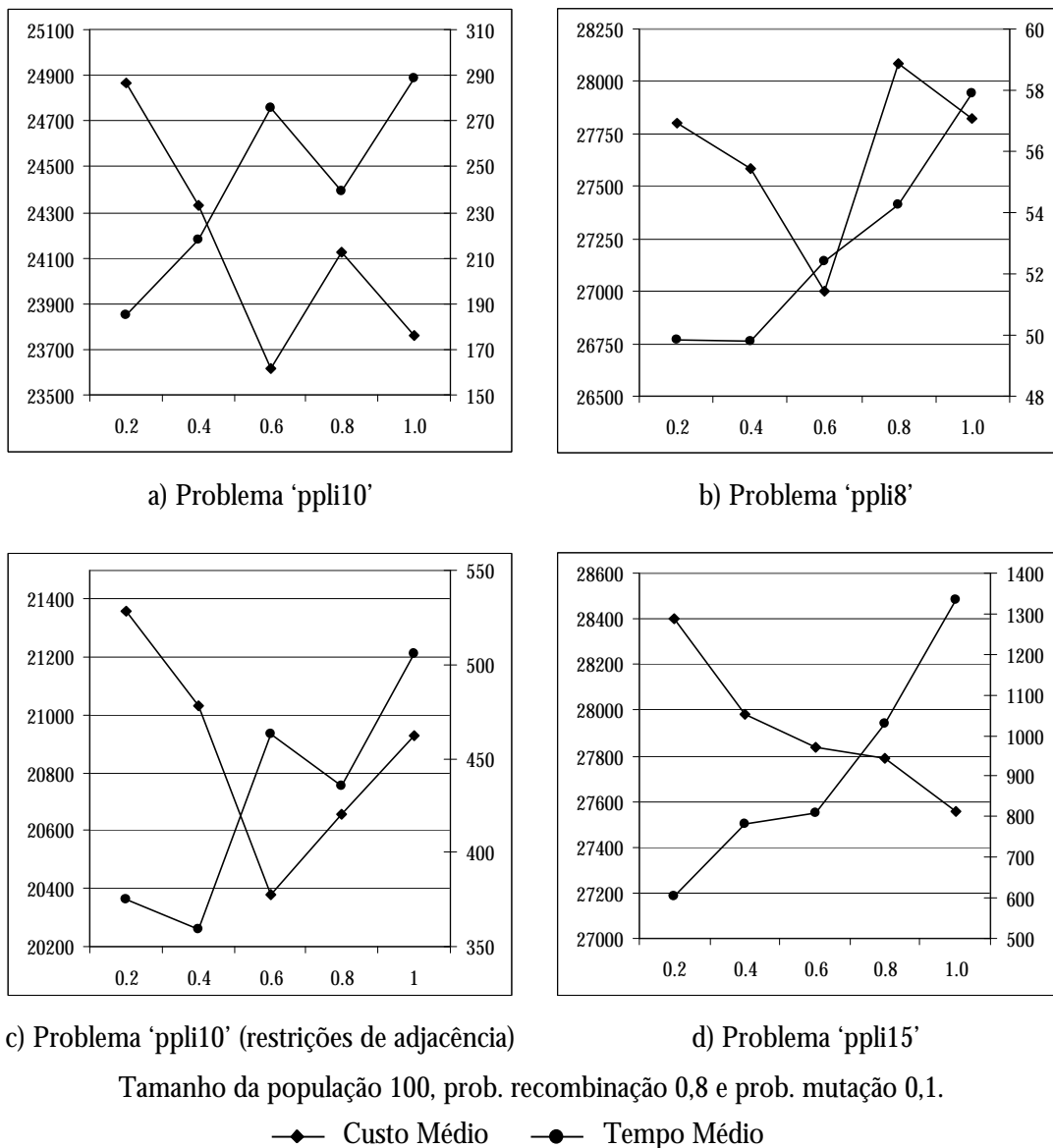


Figura 7-18: Evolução da qualidade das soluções e do tempo de processamento em função da taxa de substituição.

Observa-se neste caso que o tempo de processamento aumenta com o aumento da taxa de substituição, o que é lógico dado que se realizam mais operações genéticas

enquanto que o custo das soluções decresce. No entanto, como se pode verificar, a partir de um valor da taxa de substituição superior 0,6 se possa registar uma inversão na tendência de diminuição do custo das soluções. Este facto pode estar relacionado com o número de indivíduos substituídos por descendentes de pior qualidade.

A probabilidade de recombinação é outro parâmetro com influência na qualidade das soluções. Esta influência, para os problemas solucionados, encontra-se ilustrada nos gráficos da Figura 7-19.

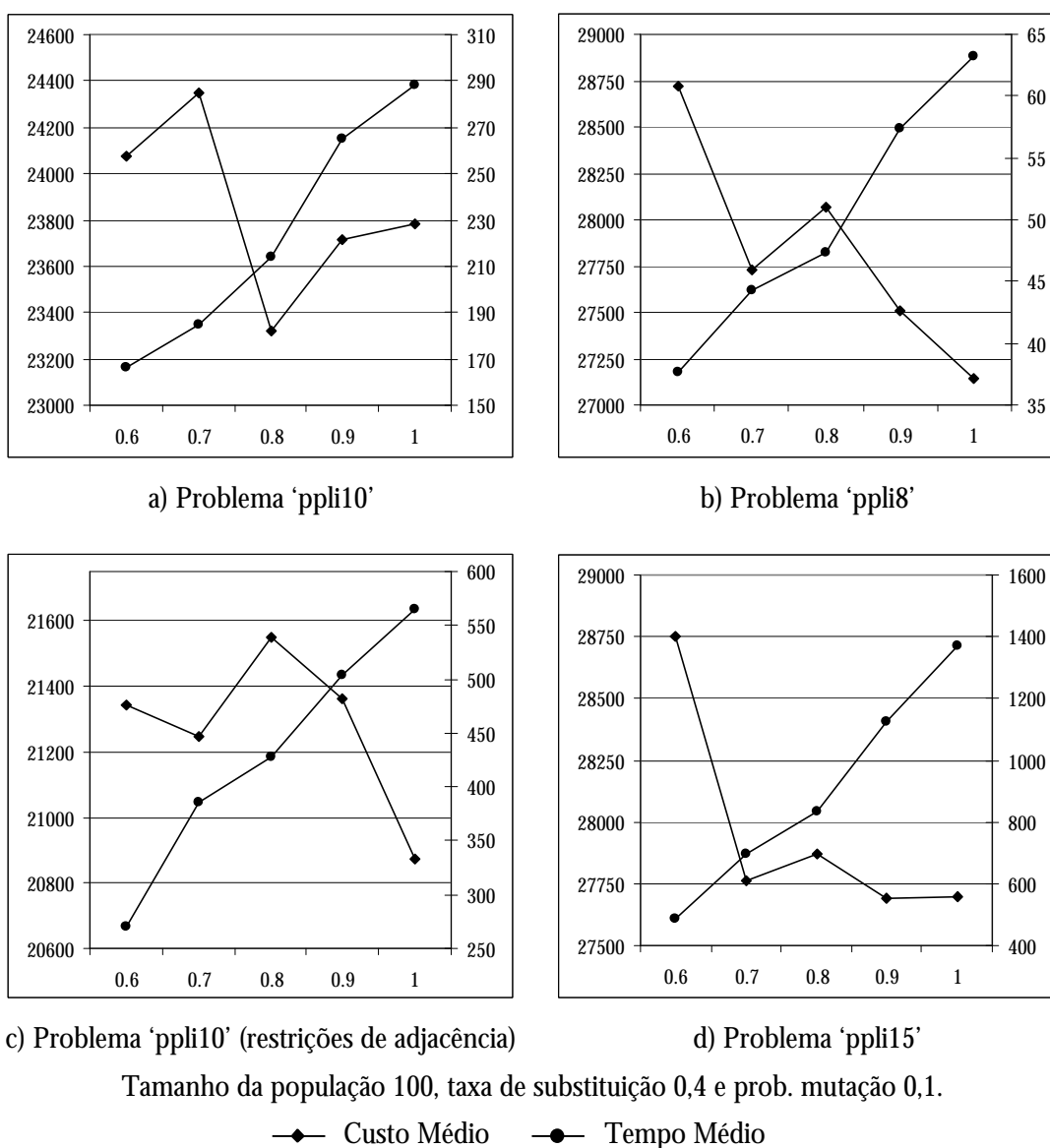


Figura 7-19: Evolução da qualidade das soluções e do tempo de processamento em função da probabilidade de recombinação.

Como j  seria de esperar, verifica-se que tempo de processamento aumenta com o aumento da probabilidade de recombinaç o tal como em geral a qualidade das soluç es. Deve-se referir que o caso de teste ‘ppli10’, em que n o s o inclu das restriç es de adjac ncia, foi uma exceç o. Neste caso, a qualidade das soluç es mostrou uma ligeira tend ncia para piorar para valores da probabilidade de recombinaç o superiores a 0,8.

Por  ltimo, surge a probabilidade de mutaç o. A sua influ ncia na qualidade das soluç es encontra-se representada na Figura 7-20.

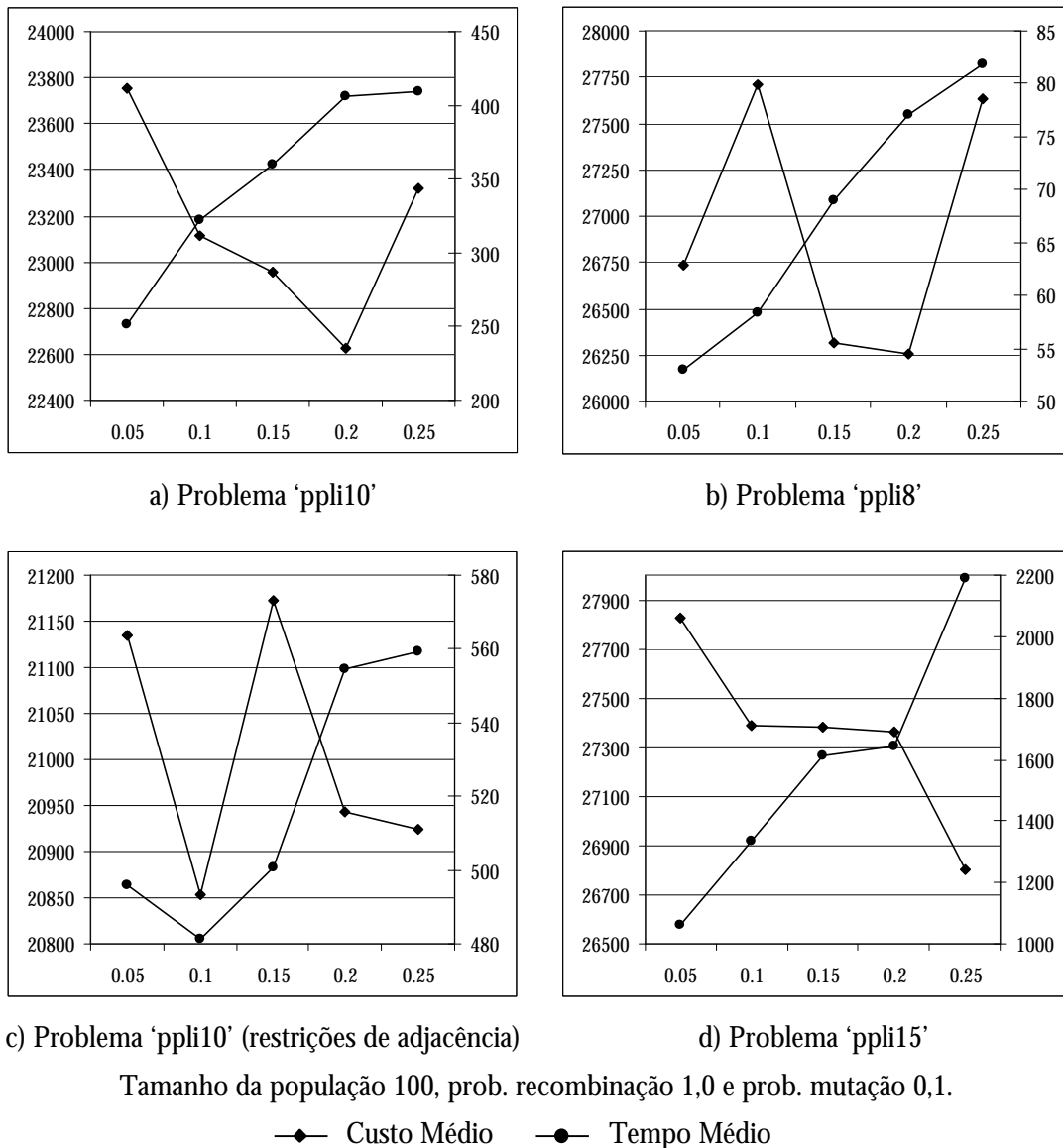


Figura 7-20: Evoluç o da qualidade das soluç es e do tempo de processamento em funç o da probabilidade de mutaç o.

Verifica-se também que o aumento da probabilidade de mutação faz aumentar o tempo de processamento, o que já era previsível. Há que referir, no entanto, que para a maior parte dos problemas este aumento do tempo de processamento não é significativo, o que não acontece com este caso. Este facto relaciona-se com as características do operador de mutação usado, que não é mais do que uma forma específica de um procedimento de etiquetagem em  $PLR(DF)$ .

Já a relação existente entre a probabilidade mutação e a qualidade das soluções observa-se que não é tão clara. No entanto, parece existir uma tendência para as melhores soluções surgirem no intervalo de 0,1 a 0,2.

A Tabela 7-1 resume qual o intervalo de valores para os quatro parâmetros analisados que mostraram, pelas experiências realizadas, uma tendência para proporcionarem soluções de melhor qualidade.

Tabela 7-1: A gama de valores para os parâmetros do AG do *LayGeRL*.

Tamanho da população	80 .. 100
Taxa de substituição	0,4 .. 0,8
Probabilidade de recombinação	0,8 .. 1,0
Probabilidade de mutação	0,1 .. 0,2

Estes resultados não permitem concluir definitivamente qual a melhor gama de valores para os quatro parâmetros aqui analisados, mas permitem a observação de uma tendência para a gama de valores que permite obter soluções de melhor qualidade. De qualquer forma, a escolha dos melhores valores para os diferentes parâmetros depende muitas das vezes do problema a solucionar, da sua dimensão e complexidade e também do tempo de processamento que se pode dispensar. É muitas vezes necessário encontrar um bom compromisso entre os diferentes factores envolvidos.

### 7.3.3 Resultados para os Casos de Teste

De acordo com as experiências realizadas, para determinar a influência dos principais parâmetros do AG implementado no *LayGeRL* na qualidade das soluções,

foram solucionados os restantes casos de teste indicados na Tabela 5-3, tendo sido escolhidos valores para os diferentes par metros que, tendo em conta a dimens o e complexidade do problema,   partida proporcionam um bom compromisso entre a qualidade das soluç es e o tempo de processamento.

Os par metros que proporcionaram as melhores soluç es para todos os casos de teste envolvidos nas experi ncia realizadas bem como os par metros escolhidos para os restantes casos de teste encontram-se indicados na Tabela 7-2.

Tabela 7-2: Os par metros usados para solucionar os diferentes casos de teste.

	ppli8		ppli10		ppli10c		ppli15		ppli24	
Adjac�ncia	N	S	N	S	N	S	N	S	N	S
Tamanho da populaç�o	100	100	100	100	100	100	100	100	80	60
Taxa de substituiç�o	0,4	0,4	0,4	0,5	0,5	0,5	0,4	0,5	0,1	0,1
Prob. de recombinaç�o	1,0	1,0	1,0	0,9	0,9	0,9	1,0	0,9	0,8	0,8
Prob. de mutaç�o	0,2	0,15	0,2	0,15	0,15	0,15	0,25	0,15	0,05	0,05

Tal como se pode verificar, cada caso de teste foi solucionado considerando o problema com e sem restriç es de adjac ncia adicionais (colunas S e N respectivamente). A colocaç o de restriç es de adjac ncia considera a escolha de pares de instalaç es de acordo com o m todo de determinaç o da correspond ncia de peso m ximo que foi descrito na secç o 5.3.5. Por outro lado, a resoluç o de cada caso de teste foi realizada 10 (dez) vezes, dado o car cter estoc stico dos AG.

Os custos das soluç es encontradas para os diferentes casos de teste, n o considerando as restriç es de adjac ncia, encontram-se indicados na Tabela 7-3, enquanto que a Tabela 7-4 apresenta os custos das soluç es para os mesmos casos de teste, considerando as restriç es de adjac ncia. Em cada uma das duas tabelas   indicado, para cada caso de teste, o melhor custo, o pior custo e o custo m dio do



conjunto dos dez resultados obtidos, bem como os respectivos números de gerações e tempos de processamento gastos.

Tabela 7-3: Resultados para os cinco casos de teste sem a utilização de restrições de adjacência.

<b>Problema</b>		<b>Custo</b>	<b>Nº Médio de Gerações</b>	<b>Tempo de Processamento</b>
ppli8	Melhor	24239	50	85
	Pior	28799	40	69
	Média	26253	45	77
ppli10	Melhor	21653	110	611
	Pior	24314	60	307
	Média	22625	73	406
ppli10c	Melhor	23161	60	644
	Pior	25407	40	588
	Média	24286	49	609
ppli15	Melhor	25270	140	3797
	Pior	27560	50	1163
	Média	26802	88	2188
ppli24	Melhor	96232	130	1352
	Pior	109505	110	1168
	Média	103398	131	1329

Comparando os resultados da Tabela 7-3 com os da Tabela 5-9, que contém o custo das melhores soluções obtidas com o *LaRLo* ao fim de uma hora, verifica-se que o *LayGeRL* proporciona sempre soluções melhores. Também se verifica que necessita normalmente de um período de processamento inferior a uma hora. (registre-se a exceção relativa à melhor solução obtida para o problema ‘ppli15’ que necessitou de um período de processamento ligeiramente superior a uma hora).

Outra excepção foi que, para o problema ‘ppli24’, a pior solução possui um custo marginalmente superior ao custo da solução obtida com o *LaRLo*. Esta situação pode estar relacionada com o facto de que os valores escolhidos para os quatro parâmetros do AG não corresponderem à gama de valores de que se esperariam os melhores resultados. Estes valores foram escolhidos apenas com objectivo de a resolução do problema não demorar mais do que uma ou duas horas. De qualquer forma, em termos médios, mesmo com estes valores escolhidos para os parâmetros do AG, a qualidade das soluções é melhor.

Tabela 7-4: Resultados para os cinco casos de teste com a utilização de restrições de adjacência.

<b>Problema</b>		<b>Custo</b>	<b>Nº Médio de Gerações</b>	<b>Tempo de Processamento</b>
ppli8	Melhor	22559	20	45
	Pior	23519	30	83
	Média	22943	27	73
ppli10	Melhor	18734	70	1070
	Pior	20977	30	617
	Média	20255	54	921
ppli10c	Melhor	18925	100	2576
	Pior	21754	40	1917
	Média	20652	52	1736
ppli15	Melhor	25745	80	9033
	Pior	27303	110	17759
	Média	26622	99	12991
ppli24	Melhor	94911	370	6465
	Pior	101326	230	6042
	Média	97268	337	6869

Considerando agora a Tabela 7-4 e comparando-a com a Tabela 7-3, verifica-se que a qualidade das soluções é geralmente melhor quando se colocam restrições de adjacência. No entanto, o tempo de processamento necessário tem tendência a crescer com o aumento da dimensão do problema. Registe-se que para o caso de teste ‘ppli15’ o tempo médio de processamento é aproximadamente seis vezes superior e para o caso de teste ‘ppli24’ o tempo médio de processamento é aproximadamente cinco vezes superior, mesmo com um tamanho da população inferior em 25%.

Comparando os resultados da Tabela 7-4 com a qualidade das soluções obtidas com o *LaRLo*, observa-se também soluções de superior qualidade quando se utiliza o *LayGeRL* e tendo em conta as restrições de adjacência.

Como conclusão final, a qualidade das soluções obtidas com o *LayGeRL* são geralmente melhores do que as que resultam da utilização do *LaRLo* para as mesmas condições (sem ou com restrições de adjacência). A Tabela 7-5 e Tabela 7-6 são a prova deste facto, ao mostrarem os custos das melhores soluções obtidas, sem e com restrições de adjacência respectivamente, com o *LaRLo* e com o *LayGeRL* para o cinco casos de teste considerados.

Tabela 7-5: Comparação do *LaRLo* com o *LayGeRL* sem a colocação de restrições de adjacência.

<b>Problema</b>		<b>ppli8</b>	<b>ppli10</b>	<b>ppli10c</b>	<b>ppli15</b>	<b>ppli24</b>
<i>LaRLo</i>	Custo	31377	25836	25926	29286	109372
	$\lambda$	Menor	Médio	Menor	Menor	Médio
	<i>PE</i>	<i>PE5</i>	<i>PE5</i>	<i>PE5</i>	<i>PE5</i>	<i>PE1</i>
<i>LayGeRL</i>	Custo	24239	21653	23161	25270	96232
	Tempo (segundos)	85	611	644	3797	1352

Recorde-se que, no *LaRLo*, a pesquisa das soluções é interrompida ao fim de um determinado período de tempo (uma hora). Além disso, verifica-se também que o tempo de processamento necessário para encontrar as soluções é geralmente bastante

menor com o *LayGeRL* do que o necess rio com o *LaRLo*. H  ainda a considerar que, para o caso do *LaRLo*, as melhores soluç es obtidas para os cinco casos de teste resultaram da utilizaç o de diferentes heur sticas da ordem de selecç o de vari veis diferentes ( $\lambda$ ) e procedimentos de etiquetagem (PE).

Tabela 7-6: Comparaç o do *LaRLo* com o *LayGeRL* utilizando de restriç es de adjac ncia.

<b>Problema</b>		<b>ppli8</b>	<b>ppli10</b>	<b>ppli10c</b>	<b>ppli15</b>	<b>ppli24</b>
<i>LaRLo</i>	Custo	22784	23422	22985	29361	114401
	$\lambda$	Partiç�o	Partiç�o	Menor	M�dio	Menor
<i>LayGeRL</i>	Custo	22559	18734	18925	25745	94911
	Tempo (segundos)	45	1070	2576	9033	6465